

بررسی اثر آهنگ انباشت روی نانوساختار لایه‌های نازک مس و ثابت‌های اپتیکی آنها

*معصومه فیروزی

گروه فیزیک، واحد کاشان، دانشگاه آزاد اسلامی، کاشان، ایران

تاریخ ثبت اولیه: ۱۳۹۶/۱۱/۱۵، تاریخ دریافت نسخه اصلاح شده: ۱۳۹۷/۰۳/۱۰، تاریخ پذیرش قطعی: ۱۳۹۷/۰۳/۲۲

چکیده

در این پژوهش اثر آهنگ انباشت روی ثابت‌های اپتیکی لایه‌های نازک مس در بازه طول موج (۳۳۰۰-۱۷۵ nm) به روش کریمرز-کرونیگ بررسی شده‌اند. این لایه‌ها به روش تبیخ در خلاء توسط پرتو تنگ کترونی و با آهنگ انباشت در بازه (۰/۶-۲۰ Å/s) در دمای K ۳۱۳ درجه شده‌اند و سپس اندازه‌گیری‌های اپتیکی توسط دستگاه اسپکتروفوتومتر ۵۰۰ (Carry) انجام شده است. برای بررسی اثر آهنگ انباشت روی ثابت‌های اپتیکی، ابتدا اثر این پارامترها روی نانوساختار لایه‌های نازک فلزی، با مدل منطقه‌ای ساختاری (SJM) مورد بررسی قرار گرفته و سپس اثر این نانوساختار روی ثابت‌های اپتیکی توسط نظریه تقریب محیط موثر (EMA) مورد بررسی قرار می‌گیرد. به عبارت دیگر تقریب محیط موثر (EMA) برای ایجاد ارتباط بین نتایج میکروسکوپ نیروی اتمی (AFM) و پیشگویی‌های SJM و EMA است. همخوانی خوبی بین مدل SJM و مقادیر حجم جزئی حفره‌های بدست آمده از نظریه EMA بدست می‌آید. در بررسی ثابت‌های اپتیکی مشاهده می‌شود که بخش حقیقی ضربی شکست نمونه‌های لایه‌ای Cu با افزایش آهنگ انباشت کاهش می‌یابد. در حالی که مقدار جذب با افزایش آهنگ انباشت افزایش می‌یابد. علت را در کاهش میزان حفره‌ها در آهنگ‌های انباشت بالاتر می‌توان یافت. این افزایش مقدار جذب در لایه‌ها طبق نظریه محیط موثر باعث کاهش بخش حقیقی ثابت دی‌کتریک ϵ_d و بخش موهومی ثابت دی‌کتریک ϵ_d در آهنگ‌های انباشت بالاتر می‌شود.

واژه‌های کلیدی: ثابت‌های اپتیکی، آهنگ انباشت، مدل منطقه‌ای ساختار، لایه نازک مس.

مطالعه محققان زیادی قرار گرفته است. یکی از جالب‌ترین ویژگی‌های نانوذرات فلزی، خواص نوری و الکترونیکی آنها است که متناسب با شکل و اندازه نانوذرات تغییر می‌کند. در انواع نانوذرات فلزی تشديد پلاسمون سطحی SPR

در سال‌های اخیر ساخت و مطالعه نانوذرات فلزی در شکل‌ها و اندازه‌های مختلف، به علت کاربردهای فراوان آنها مورد

۱- مقدمه

* عهد دار مکاتبات: معصومه فیروزی

نشانی: کاشان، دانشگاه آزاد اسلامی، واحد کاشان، گروه فیزیک

تلفن: ۰۳۱-۵۵۵۴۰۰۵۶، دورگار: ۰۳۱-۵۵۵۰۰۵۵، پست الکترونیکی: M.Firuzi@iaukashan.ac.ir

کرد که اختلافات در تابع دی الکتریک بین فلز کپه‌ای و لایه بمباران یونی شده به طور اساسی از تغییرات در اندازه دانه و وجود حفره‌ها افزایش می‌یابد.

سان (Sun) و همکارانش [۱۷] بستگی ضخامت ساختار و خواص اپتیکی لایه‌های نقره انباشت شده با استفاده از کندوپاش مغناطیسی را مطالعه کردند. گرچه آن‌ها طیف اپتیکی را در گستره طول موج $420 - 680 \text{ nm}$ اندازه‌گیری کردند اما آن‌ها نتایج را برای یک طول موج منفرد 633 nm که در آن‌ها نشان می‌دهد که خواص اپتیکی گزارش کرده‌اند. نتایج آن‌ها نشان می‌دهد که خواص اپتیکی لایه‌های آن‌ها به ضخامت لایه وابسته است و برای لایه‌های با ضخامت کمتر از 17 nm که لایه نقره پیوسته می‌شود، با افزایش ضخامت لایه، خواص اپتیکی به طور قابل توجهی تغییر می‌کند و سپس در ضخامت 41 nm پایدار می‌شود.

معازه‌ای و همکارانش [۱۸] اثر دما و ضخامت لایه را بر نانوساختارها و توابع اپتیکی لایه‌های نازک نیکل تحت شرایط UHV بررسی کردند. ثابت‌های اپتیکی این لایه‌ها نشان می‌دهد که رفتارهای پاشندگی به ضخامت لایه و شرایط انباشت حساس است. جهت گیری‌های ترجیحی، زمخنثی سطح لایه‌های نازک Ni و توابع اپتیکی آن‌ها هم‌خوانی خوبی را نشان می‌دهند.

سوالونی و همکارانش در کارهای متعددی اثر پارامترهای مختلف انباشت را روی خواص فیزیکی، اپتوالکترونیکی لایه‌های نازک فلزات، فلزات نجیب و ... بررسی کردند [۱۹-۲۲] در حالی که در مورد اثر آهنگ انباشت روی خواص اپتیکی لایه‌های نازک مس تحقیقات جامعی انجام نشده است که در این مقاله اثر آهنگ انباشت، روی خواص اپتیکی لایه‌های نازک مس بررسی می‌شود.

خواص اپتیکی فلزات، با ثابت‌های اپتیکی آن‌ها، یعنی ضربی شکست مختلط $\tilde{n} = n + ik$ یا ثابت دی الکتریک مختلط $\tilde{\epsilon} = \epsilon_1 + i\epsilon_2 = \epsilon^2$ توصیف می‌شود. لازم به ذکر است که مقادیر n ، ϵ_1 و ϵ_2 همگی به بسامد (طول موج) بستگی دارند. لذا این روابط را می‌توان به شکل کلی تر به صورت $\tilde{n}(\omega) = n(\omega) + ik(\omega)$ و $\tilde{\epsilon}(\omega) = \epsilon_1(\omega) + i\epsilon_2(\omega)$ بیان

(Surface Plasmon Resonance) مسئول خواص نوری منحصر بفرد آن‌ها است. در فلزات نجیب مانند مس فرکانس پلاسمون سطحی جایگزینه در منطقه نور مرئی واقع می‌شود. برانگیختگی پلاسمون سطحی در نانوذرات مس، کاربردهای فراوانی در حسگرهای زیستی و شیمیایی، تصویربرداری بیولوژیکی، نانوآتنن‌ها و سلول‌های خورشیدی دارد [۱]. اندازه‌گیری ثابت‌های اپتیکی فلزات نجیب از جمله مس از زمان درود (Drude) شروع شد و تلاش برای بالا بردن دقت اندازه‌گیری و مقایسه نتایج تجربی و نظری ادامه یافت [۱]. با توجه به اینکه ساختار، خواص فیزیکی و به خصوص اپتیکی لایه‌های نازک را می‌توان بر حسب نوع زیرلایه، دما، ضخامت، آهنگ انباشت و دیگر پارامترها به منظور دستیابی به مشخصه‌های فیزیکی مطلوب به میزان قابل توجهی تغییر داد [۲-۷]، این ویژگی‌ها اساس توسعه کاربردهای لایه‌های نازک را تشکیل می‌دهند. از جمله این کاربردها می‌توان پوشش لایه‌های فلزی در آینه‌های نیم‌اندود تابشگرهای UV، آینه‌های تلسکوپ، قطبش‌گرها، قطعات فعال نوری، فیلترهای اپتیکی، مدارهای میکروالکترونیک و اپتیک تجمعی را نام برد [۸-۱۴].

روزی (Rosie) و لینچ (Lynch) [۱۵] فرآیندهای در گیر در وابستگی دمایی در فلزات را مطالعه کردند. انساط حرارتی باعث می‌شود که تجمع فونون‌ها، پهن شدگی توزیع فرمی و انتقال تراز فرمی افزایش یابد. این مکانیزم‌های حرارتی باعث انتقال کم انرژی در ساختار نوار و یا تراز فرمی فلزات می‌شود. به عنوان یک نتیجه این جابجایی کوچک انرژی در موقعیت قله‌ها در منحنی E بر حسب انرژی فوتون، تغییراتی را در مقدار E در یک انرژی داده شده ایجاد می‌کند.

پارمی گیانی (Parmigiani) و همکارانش [۱۶] خواص الکتریکی و اپتیکی لایه‌های نازک نقره با ضخامت 50 nm را که تحت شرایط بمباران یونی تهیه کردند، بررسی نمودند. مطالعه مقایسه‌ای با استفاده از آنالیز تقریب محیط موثر بروگمان (Bruggman) بین داده‌های اپتیکی آن‌ها و تنش‌ها، اندازه دانه‌ها و پارامترهای شبکه اندازه‌گیری شده پیشگویی

پروفایل سنج اندازه‌گیری شد. فشار پایه در حدود 2×10^9 mbar بود و گازهای باقیمانده شامل H_2 , H_2O , CO و CO_2 طیف سنج جرمی چهار قطبی تحلیل شدند. آهنگ‌های انباشت متفاوت با طیف سنج جرمی چهار قطبی اندازه‌گیری شدند و منبع تبخیر توسط یک پس تعذیه کنترل شد. فاصله بین بوته تبخیر و زیر لایه $54/5$ cm است. آنالیز نمونه‌های بالا یک زمینه‌ای را برای بررسی اثر آهنگ انباشت روی خواص اپتیکی لایه‌های نازک مس ایجاد می‌کند. هر زیر لایه تا دمای 313 K در طول انباشت گرم می‌شود و پس از اتمام فرآیند انباشت نمونه‌ها در محیط خلاء سرد شدند تا به دمای اتاق برسند. پس از بیرون آوردن نمونه‌ها از محفظه خلاء، اندازه‌گیری‌های اپتیکی روی آن‌ها انجام شد و یا آن‌ها در داخل دسیکاتور خلاء نگهداری شدند. لذا سطح لایه‌ها در تماس با هوا قرار نگرفت تا موجب ایجاد سطح اکسیدی روی آن‌ها شود. فرآیند انباشت چندین بار تکرار شد تا باز تولید نتایج اپتیکی تایید شود. زیر لایه‌های استفاده شده در تمامی این نمونه‌ها شیشه‌های دایره‌ای (float glass) به ضخامت $d=3\text{ mm}$ می‌باشند.

برای بررسی خواص اپتیکی این نمونه‌ها روش کریمرز-کرونیگ به کار رفته است. برای تحلیل کریمرز-کرونیگ نمونه‌های مورد بررسی در این پروژه، باید مقادیر بازتابندگی در بازه پهنی از طول موج $(3300\text{ nm}-40\text{ eV})$ یا $(30\text{ eV}-40\text{ nm})$ مشخص باشد. برای این منظور مقادیر بازتابندگی نمونه‌ها توسط دستگاه اسپکتروفوتومتر (500 Carry) واقع در مرکز تحقیقات پلاسمای دانشگاه آزاد اسلامی واحد علوم و تحقیقات تهران اندازه‌گیری شد. البته این دستگاه اندازه‌گیری طیف اپتیکی در بازه طول موج $185-330\text{ nm}$ (بازه انرژی $8/40\text{ eV}$) را فراهم می‌آورد. لذا باقیمانده طیف بازتابندگی ($40-175\text{ nm}$) را با استفاده از داده‌های گزارش شده توسط هاگمن (Hagmann) [۲۳]، برای نمونه‌ای از لایه مس در دمای اتاق بهنجار کردیم. به این ترتیب مقادیر بازتابندگی در بازه $(30\text{ eV}-40\text{ nm})$ معلوم و لذا تحلیل

نمود. وجود بخش موهومی در عبارت ضرب ضخامت باعث جذب نور و کاهش شدت آن می‌شود [۱].

در تابش عمودی با یک بسامد (طول موج) مشخص، بر یک لایه فلزی نازک به ضخامت d می‌توان بازتاب R و عبور T را به عنوان توابعی از n و d/λ بیان کرد. اگر ضخامت لایه مشخص باشد مقادیر n و k را در هر طول موجی می‌توان به طور هم زمان با استفاده از مقادیر R_{\exp} (بازتاب تجربی) یا T_{\exp} (عبور تجربی) و در پاره‌ای موارد با استفاده از هر دو به دست آورده. روش‌های تجربی زیادی برای تعیین ثابت‌های اپتیکی لایه‌های نازک وجود دارد: روش‌های Laaziz-Kramers-Kronig، لازیز-کرونیگ (Kovalenko and Lisitsa [۲۴]) و T به طور همزمان، نورسنجی Photometry و قطبش سنجی Polarizometry که در بین این روش‌ها، فقط روش روش کریمرز-کرونیگ است که در آن، بازه بسامد از صفر تا بی‌نهایت تغییر می‌کند و بقیه روش‌ها دارای بازه بسامد محدود می‌باشند. در حال حاضر این روش یکی از مفیدترین روش‌ها برای تعیین دقیق ثابت‌های اپتیکی است که به عنوان روش مرجع و مطمئن شناخته شده است، لذا در این مقاله، روش کریمرز-کرونیک برای محاسبه ثابت‌های اپتیکی استفاده می‌شود [۲۵].

۲- فعالیت‌های تجربی

در این پژوهش، لایه‌های نازک فلز نجیب مس مورد بررسی قرار می‌گیرد. این لایه‌ها (با درجه خلوص حداقل $99/99\%$) به روش تبخیر باریکه الکترونی در محیط خلاء، سیستم (Balzars UMS 500U) روی زیر لایه‌های شیشه‌ای مسطح با زمختی سطحی ریشه مربع میانگین ($R_q=0/3\text{ nm rms}$) (Rank Taylor Hobson Talysurf) (با استفاده پروفایل سنج (Talysurf)) قبل از استفاده تمام زیر لایه‌ها در حمام تهیه شدند. آلتراسونیک با استفاده از استون و اتانول گرم تمیز شدند. پس از انباشت، ضخامت لایه‌ها با استفاده از همان

شکل ۱ نتایج حاصل از تحلیل کریمرز-کروینگ را برای بخش حقیقی ضرب شکست نمونه‌های لایه‌ای Cu در آهنگ‌های انباست مختلف نشان می‌دهد. نمودار ضمیمه شده در گوش سمت راست تمامی شکل‌های نشان داده شده در این بخش، نتایج "هاگمن" را برای یک نمونه Cu کپه‌ای نشان می‌دهد که نمودارهای ما روندی مشابه با نمودار "هاگمن" دارد [۲۳]. مشاهده می‌شود که با افزایش آهنگ انباست بخش حقیقی ضرب شکست کاهش می‌یابد. علت را می‌توان بدین صورت توضیح داد که در آهنگ‌های انباست کم، ساختار لایه منطقه I مدل منطقه ای ساختاری Szm است. در دماهای کم زیرلایه (۳۱۳K) حرک اتم‌های اضافه شونده با دمای زیرلایه محدود می‌شود. پخش سطحی در اثر دمای زیرلایه بسیار ناچیز است اما افزایش آهنگ انباست باعث افزایش اندازه حرکت آن‌ها در افزایش انتقال این اندازه حرکت در سطح بوده و در نتیجه این افزایش اندازه حرکت باعث پخش سطحی و کاهش حفره‌ها شده و ضرب شکست افزایش می‌یابد. هر چند این موضوع نیز نباید نادیده گرفته شود که افزایش آهنگ انباست باعث دفن شدن اتم‌ها در زیر اتم‌های بعدی (بمباران اتم انباستی توسط اتم‌های بعدی) می‌شود. در نتیجه این دو فرآیند باید در رقابت با یکدیگر باشند. بنابراین، با شکل‌گیری هسته‌های جدید کوچک تنگ چن و رشد آن‌ها به ساختارهای رشته‌ای به هم فشرده بدون حفره، ساختاری مشابه با ساختار منطقه‌ای T را در لایه‌های نازک کندوپاش شده خواهیم داشت [۲۶]. به این ترتیب با کاهش کسر حجمی حفره‌ها و زمختی سطح در آهنگ‌های انباست بالاتر، ضرب شکست کاهش می‌یابد.

شکل ۲ نتایج حاصل از تحلیل کریمرز-کروینگ را برای بخش موسمی ضرب شکست نمونه‌های لایه‌ای Cu در آهنگ‌های انباست مختلف نشان می‌دهد. با افزایش آهنگ انباست مقدار جذب افزایش می‌یابد. علت را در کاهش میزان حفره‌ها در آهنگ‌های انباست بالاتر می‌توان یافت که در شکل ۶ به وضوح مشاهده می‌شود. این کاهش حفره‌ها در آهنگ‌های انباست بالاتر باعث افزایش میزان جذب می‌شود.

کریمرز-کروینگ مورد بررسی قرار می‌گیرد و می‌توان ثابت‌های اپتیکی d_1 , d_2 , d_3 و ... را محاسبه کرد [۲۲]. علاوه بر محاسبات بالا، آنالیز میکروسکوپ نیروی اتمی (Scientific, Park AFM) برای به دست آوردن مورفولوژی سطح لایه استفاده شد.

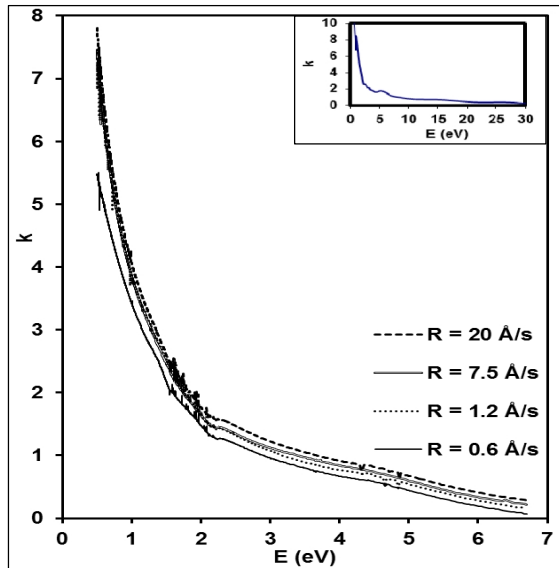
۳- نتایج و بحث

۳-۱- محاسبه ثابت‌های اپتیکی

در این بخش نتایج تجربی حاصل از مطالعه اثر آهنگ انباست روی خواص اپتیکی لایه‌های نازک مس مورد بررسی قرار می‌گیرد. زیرلایه‌های استفاده شده در تمامی این نمونه‌ها شیشه‌های دایره‌ای (float glass) به ضخامت $d = 3\text{ mm}$ می‌باشند.

در بیشتر فلزات و دی الکتریک‌ها، انرژی فعال‌سازی برای پخش سطحی، به دمای ذوب ماده، T_m , بستگی دارد. لذا انتظار می‌رود فرآیندهای اساسی متفاوت، گستره‌های متفاوتی از $\frac{T_s}{T_m}$ (دمای کاهش یافته، T_s دمای زیرلایه است) را شامل شده و ساختار واقعی را توجیه کنند. این همان مفهوم مدل منطقه‌ای ساختار می‌باشد. این مدل، برای توصیف ارتباط بین میکروساختار (ستون‌های $10\text{ }\mu\text{m}$ و بزرگتر) و شرایط لایه‌نشانی لایه نازک به کار می‌رود.

شرایط آزمایش‌های لایه‌نشانی در لایه‌های نازک Cu در جدول ۱ آورده شده است. از آنجاییکه در این حالت انباست، $\frac{T_s}{T_m} = 313\text{ K}$ و دمای کاهش یافته $\frac{T_s}{T_m} = 0/25$ (منطقه I) می‌باشد، لذا نحوه رشد این لایه‌ها از مدل منطقه‌ای ساختار (SZM) Structure Zone Model همکارانش [۲۴-۲۶] برای نانوساختارهای انباست شده تحت شرایط $\frac{T_s}{T_m} \leq 0/5$ پیروی می‌کند. همچنان که مسیر و همکارانش یک مدل ترکیبی را ارائه داده‌اند که هم میکروساختارها و هم نانوساختارهای لایه نازک را شامل می‌شود ($10\text{ }\mu\text{m} - 30\text{ }\mu\text{m}$) و تحت شرایط $\frac{T_s}{T_m} \leq 0/1$ لایه نازک انباست می‌شود.



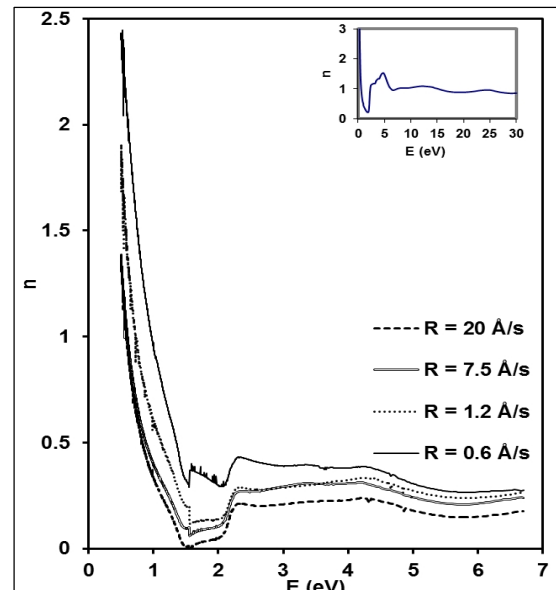
شکل ۲: نتایج حاصل از تحلیل کریموز-کروینگ برای بخش موهومی ضریب شکست لایه‌های نازک Cu در آهنگ‌های انباشت مختلف بر حسب انرژی.

شکل ۳ نتایج حاصل از تحلیل کریموز-کروینگ را برای بخش حقیقی ثابت دی الکتریک نمونه‌های لایه‌ای Cu در آهنگ‌های انباشت مختلف نشان می‌دهد. با افزایش آهنگ انباشت مقدار ϵ_1 کاهش می‌یابد. افزایش مقدار جذب در لایه‌های نازک مس طبق نظریه محیط موثر آسپنس باعث کاهش مقدار ϵ_2 در آهنگ‌های انباشت بالاتر می‌شود. بخش موهومی ثابت دی الکتریک ϵ_2 نیز مطابق با شکل ۴ با افزایش آهنگ انباشت، کاهش می‌یابد. این روند با توجه به نمودارهای n و k توصیف شده در بالا قابل توجیه است. همچنان که آسپنس و همکارانش از بررسی‌های خود نتیجه گرفتند که در ناحیه درود تغییرات (اختلافات) ثابت‌های اپتیکی ناشی از تغییر اندازه دانه‌ها در لایه می‌باشد که موجب تغییر پارامتر پراکنده‌گی در ناحیه درود می‌شود و در ناحیه میان نواری تغییرات (اختلافات) ناشی از نواحی سطحی با چگالی کمتر، اصولاً از مرزهای دانه‌ها یا فضاهای باز روی سطح زمخت می‌باشد که هر دوی آن‌ها توسط نظریه محیط موثر به صورت یک مدل داده شده‌اند تا یک ناحیه سطح مرکب را که از فلز و خلاء (هوای تشکیل شده) نشان دهدند.

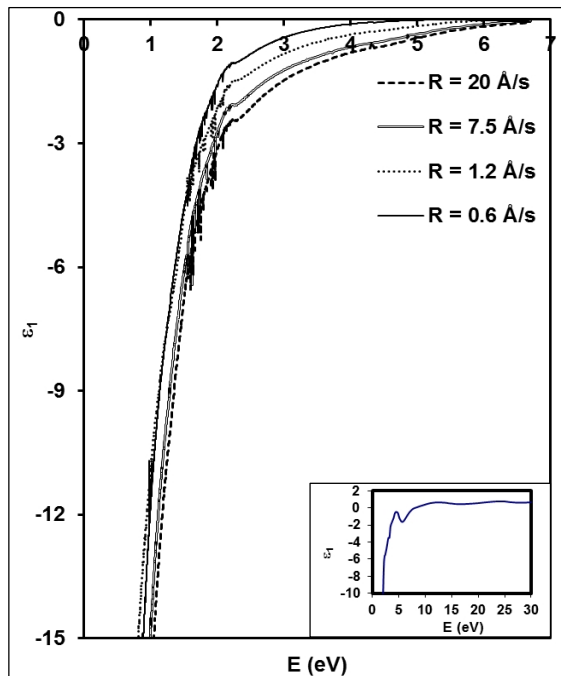
شکل ۵ تصاویر AFM لایه‌های شکل گرفته در آهنگ‌های

جدول ۱: شرایط آزمایش‌های لایه‌شناسی در بررسی آهنگ انباشت روی ثابت‌های اپتیکی لایه‌های نازک مس.

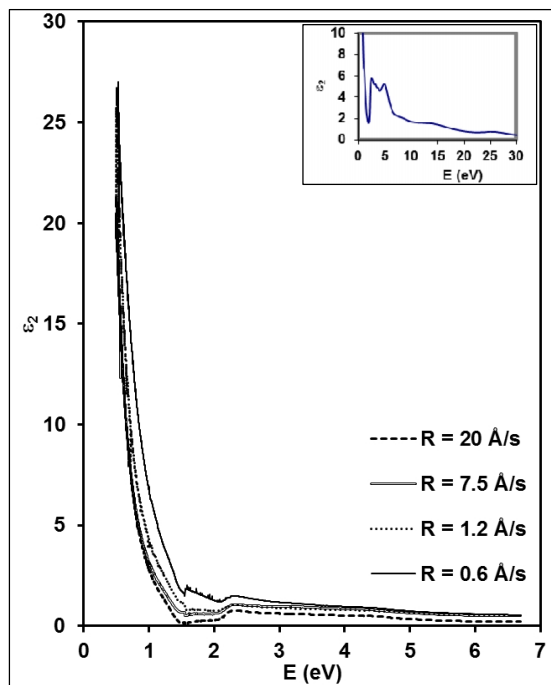
آهنگ تبخیر ($\text{\AA}/\text{s}$)	۲۰	۷/۵	۱/۲	۰/۶
ضخامت لایه (nm)	$60/00 \pm 0/05$	$60/00 \pm 0/05$	$60/00 \pm 0/05$	$60/00 \pm 0/05$
دما زیرلايه (K)	313 ± 2	313 ± 2	313 ± 2	313 ± 2
دما کاهش یافته (T_f/T_m)	$0/25$	$0/25$	$0/25$	$0/25$
زاویه انباشت	$8/5$	$8/5$	$8/5$	$8/5$
شار اوپلیه (mbar)	2×10^{-9}	2×10^{-9}	2×10^{-9}	2×10^{-9}
شار تبخیر (mbar)	3×10^{-8}	3×10^{-8}	3×10^{-8}	3×10^{-8}



شکل ۱: نتایج حاصل از تحلیل کریموز-کروینگ برای بخش حقیقی ضریب شکست لایه‌های نازک Cu در آهنگ‌های انباشت مختلف بر حسب انرژی.



شکل ۳: نتایج حاصل از تحلیل کریمرز-کرونیگ برای بخش حقیقی ثابت دی الکتریک لایه‌های نازک Cu در آهنگ‌های انباشت مختلف بر حسب انرژی.



شکل ۴: نتایج حاصل از تحلیل کریمرز-کرونیگ برای بخش موهومند ثابت دی الکتریک لایه‌های نازک Cu در آهنگ‌های انباشت مختلف بر حسب انرژی.

برای نمونه کپهای (مرجع فرض شده) نشان می‌دهد. آسپنس [۲۹] در بررسی‌های خود مقادیر مثبت و منفی f_v را به ترتیب

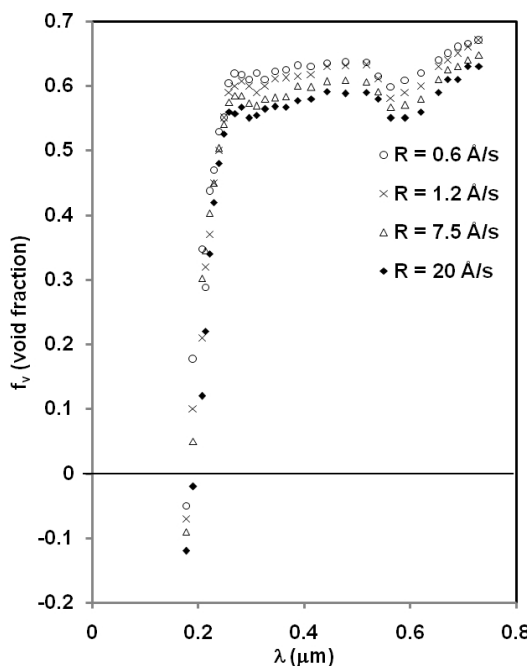
انباشت متفاوت را نشان می‌دهد. به طوری که ساختارهای متفاوت به دست آمده برای این لایه‌ها در این شکل با پیشگویی‌های نانوساختاری بیان شده در بالا سازگار است. مقایسه این چهار تصویر نشان می‌دهد که با افزایش آهنگ انباشت، زمخنی کاهش می‌یابد. علت را این چنین توجیه می‌کنیم که افزایش آهنگ انباشت باعث دفن شدن اتم‌ها در زیر اتم‌های بعدی (بمباران اتم انباشتی توسط اتم‌های بعدی) می‌شود. بنابراین، با شکل گیری هسته‌های جدید کوچک تنگ‌چین و رشد آن‌ها به ساختارهای رشته‌ای بهم فشرده بدون حفره، ساختاری مشابه با ساختار منطقه‌ای T را در لایه‌های نازک کندوپاش شده خواهیم داشت که این کاهش حفره‌ها با افزایش آهنگ انباشت، منجر به کاهش زمخنی می‌شود.

۲-۳- نظریه تقریب محیط موثر (EMA)

در این پژوهش، نظریه تقریب محیط موثر (EMA) Effective Medium Approximation بین مدل ساختار منطقه‌ای SZM و تقریب EMA انجام می‌شود. اثر حفره‌ها روی خواص اپتیکی لایه‌های نازک با استفاده از تقریب محیط موثر بیان می‌شود [۲۷، ۲۹]. با برابر قرار دادن ثابت دی الکتریک محیط میزبان ϵ_h و ثابت دی الکتریک موثر لایه ($\epsilon_v = \epsilon_h$) تقریب محیط موثر بروگمان بدست می‌آید:

$$f_v \left[\frac{1 - \epsilon_h}{1 + 2\epsilon_h} \right] = (f_v - 1) \left[\frac{(\epsilon - \epsilon_h)}{(\epsilon + 2\epsilon_h)} \right] \quad (1)$$

که فازهای ماده و حفره را به طور همزمان در نظر می‌گیرد. با استفاده از این معادله که به عنوان مقدار ثابت دی الکتریک برای فلز کپه‌ای و ϵ_h مقدار ثابت دی الکتریک برای لایه نازک مس می‌باشد، حجم جزئی حفره‌های f_v برای کل گستره انرژی اندازه‌گیری شده $6/8 \text{ eV}$ به روش حداقل مربعات به دست می‌آید. نتیجه این محاسبات در آهنگ‌های انباشت مختلف در شکل ۶ نشان داده شده است. خط $f_v = 0$ در نمودار f_v بر حسب λ حجم جزئی حفره‌ها را

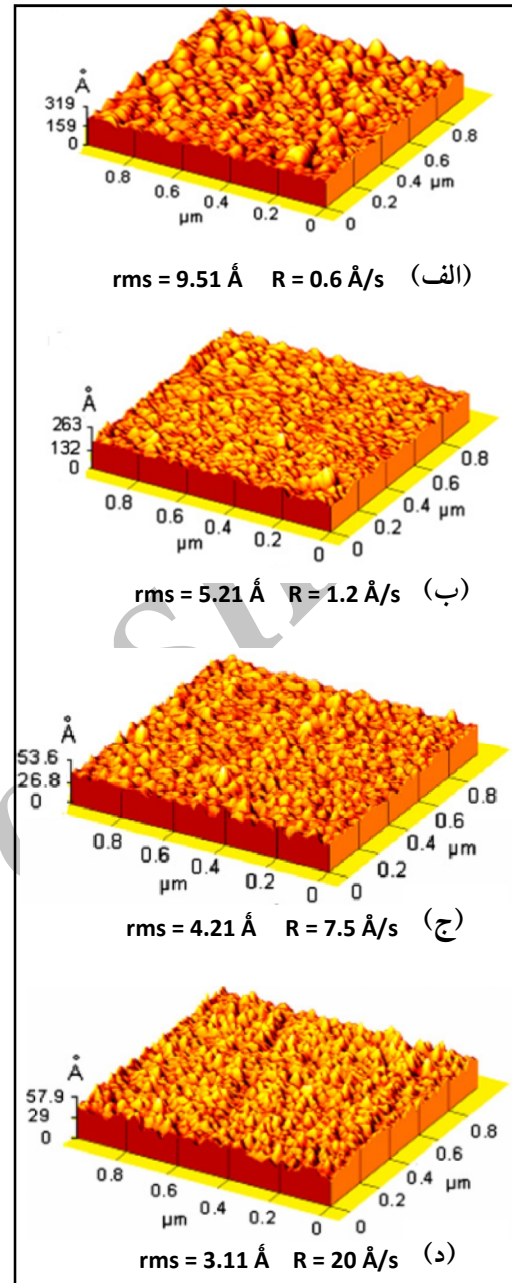


شکل ۶: نتایج حاصل از تحلیل کریمرز-کرونیگ برای حجم جزئی حفره‌ها بر حسب طول موج لایه‌های نازک Cu در آهنگ‌های انباشت مختلف.

حفره‌ها بر حسب طول موج در لایه‌های نازک Cu برای آهنگ‌های انباشت مختلف در شکل ۶ نشان می‌دهد که حجم جزئی حفره‌ها با افزایش آهنگ انباشت، کاهش می‌یابد که با پیش‌بینی مدل Szm و مورفولوژی مشاهده شده در تصاویر AFM ارائه شده در شکل ۵ همخوانی دارد. تعداد اتم‌های جذب سطح شده دفن شده با آهنگ انباشت افزایش می‌یابد و تغییر ساختاری از ساختار ستونی به ساختار رشته‌ای چگالیده شکل می‌گیرد.

۳-۳- منطقه میان نواری

شکل ۷ ضریب جذب تجربی ($\alpha(E)$) را برای لایه‌های نازک مس با آهنگ انباشت متفاوت نشان می‌دهد. مشاهده می‌شود که با افزایش آهنگ انباشت، ضریب جذب افزایش می‌یابد. افزایش میزان جذب در آهنگ‌های انباشت بالاتر به واسطه کاهش حفره‌ها در آهنگ‌های انباشت بالاتر است که با منحنی‌های شکل ۲ همخوانی دارد. این نتایج روند مشابهی را با نتایج نمونه‌های



شکل ۵: تصاویر AFM لایه‌های نازک مس روی زیرلایه شیشه در ضخامت $d=60$ nm و آهنگ‌های انباشت متفاوت R .
الف) 0.6 Å/s، ب) 1.2 Å/s، ج) 7.5 Å/s و د) 20 Å/s.

به لایه‌هایی با چگالی کمتر و بیشتر از نمونه کپه‌ای نسبت می‌دهد. همچنان که شکل ۶ نشان می‌دهد، مقادیر f_v در کل بازه مورد بررسی به جز چند نقطه، مثبت می‌باشد که کم بودن چگالی لایه‌های مورد بررسی را نسبت به نمونه کپه‌ای نشان می‌دهد.

نتایج حاصل از تحلیل کریمرز-کرونیگ برای حجم جزئی

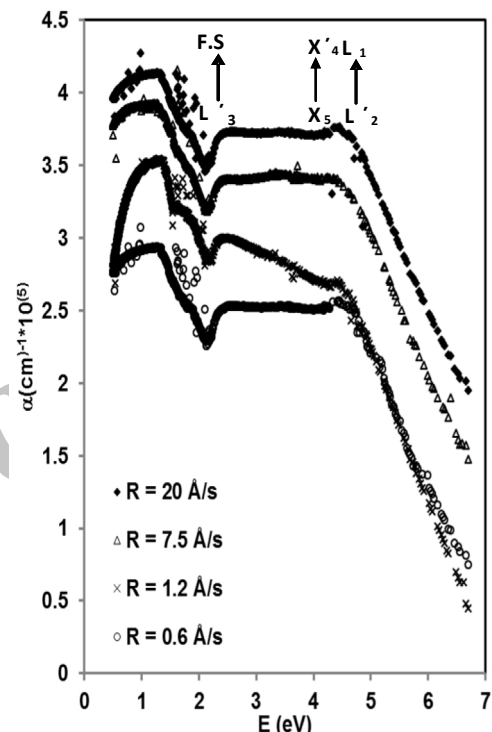
UHV بررسی شد. ارتباط بین نانوساختار لایه‌های نازک مس به عنوان تابعی از آهنگ انباست و خواص اپتیکی لایه‌های نازک مس با مطالعه ارتباط بین نتایج AFM، پیشگویی‌های مدل منطقه‌ای ساختاری SZM و نتایج تقریب محیط موثر EMA بدست می‌آید.

در بررسی اثر آهنگ انباست روی خواص اپتیکی لایه‌های نازک مس مشاهده می‌شود که با افزایش آهنگ انباست مقدار بخش حقیقی و موهومی ضریب شکست، به ترتیب کاهش و افزایش می‌یابند. این روند با توجه به کاهش مقدار حفره‌ها در آهنگ انباست بالاتر و پدیده پخش سطحی قابل توجیه است. این افزایش مقدار جذب، باعث افزایش مقدار k و ضریب جذب α و نیز کاهش مقدار ϵ_1 و ϵ_2 در آهنگ‌های انباست بالاتر می‌شود. همچنین حجم جزئی حفره‌ها با افزایش آهنگ انباست کاهش می‌یابد که با پیش‌بینی مدل SZM و مورفولوژی مشاهده شده در تصاویر همخوانی دارد. در منطقه میان نواری لایه‌های نازک AFM انباست با افزایش آهنگ انباست کاهش حفره‌ها در آهنگ‌های انباست بالاتر به واسطه کاهش حفره‌ها در آهنگ‌های انباست بالاتر است.

مراجع

- [1] L. Ward, "The optical constants of bulk materials and films", Iop publishing, UK, 1988.
- [2] H. Savaloni, F. Babaei, S. Song, F. Placido, *Applied Surface Science*, **255**, 2009, 8041.
- [3] K. Khojier, H. Savaloni, S. Zolghadr, *Applied Surface Science*, **320**, 2014, 315.
- [4] K. Khojier, H. Savaloni, N. Habashi, M.H. Sadi, *Materials Science in Semiconductor Processing*, **41**, 2016, 177.
- [5] K. Khojier, H. Savaloni, *Journal of Electronic Materials*, **44**, 2015, 3458.
- [6] S.A. Kovalenko, M.P. Lisitsa, *Semiconductor Physics, Quantum Electronics & Optoelectronics*, **5**, 2002, 294.
- [7] S.A. Kovalenko, R.D. Fedorovych, *Semiconductor Physics. Quantum Electronics & Optoelectronics*, **3**, 2000, 383.
- [8] F. Abdi, H. Savaloni, *Applied Surface Science*, **330**, 2015, 74.
- [9] H. Savaloni, M. Fakharpour, A. Siabi-Garjan, F. Placido, F. Babaei, *Applied Surface Science*, **393**, 2017, 234.
- [10] F. Babaei, H. Savaloni, *Plasmonics*, **13**, 2018, 203.
- [11] P. Esmaili, H. Kangarloo, H. Savaloni, M. Ghorannevis, *Results in physics*, **7**, 2017, 3380.
- [12] K. Khojier, H. Savaloni, E. Amani, *Applied Surface Science*, **289**, 2014, 564.

کپهای بیان شده توسط "اهرنریچ" Ehrenreich و "فیلیپ Philip" [۳۰] در گستره انرژی تا $6/8\text{ eV}$ نشان می‌دهند. نمونه‌های Cu جذب تیزی را در حدود $2/2\text{ eV}$ نشان می‌دهند که با گذار L'_3 به سطح فرمی $\sim 2/2\text{ eV}$ ($L'_3 \rightarrow \text{Fermi}$) در حدود $2/2\text{ eV}$ همخوانی دارد [۳۰]. علاوه بر گاف بیان شده در بالا گذارهای $X'_4 \rightarrow X'_5$ و $L'_1 \rightarrow L'_2$ نیز مشاهده می‌شوند.



شکل ۷: نتایج حاصل از تحلیل کریمز-کرونیگ برای ضریب جذب در نمونه‌های لایه‌ای Cu در آهنگ‌های انباست مختلف بر حسب انرژی.

۴- نتیجه‌گیری

در این مقاله، خواص اپتیکی لایه‌های نازک مس روی زیرلایه شیشه به روش کریمز-کرونیگ مورد بررسی قرار گرفت. نمونه‌های لایه نازک مس به روش تبخیر در خلاء توسط تنگ الکترونی در ضخامت 60 nm و آهنگ‌های انباست $1/2, 0/6, 7/5$ و 20 Å/s در دمای 313 K و تحت زاویه $8/5^\circ$ تهیه شدند و سپس اثر آهنگ انباست روی خواص اپتیکی لایه‌های نازک مس انباست شده تحت شرایط

- for Light and Electron Optics, **132**, 2017, 364.
- [22] H. Savaloni, M. Firouzi-Arani, *Philosophical Magazine*, **88**, 2008, 711.
- [23] H.J. Hagemann, W. Gudat, C. Kunz, *Journal of the Optical Society of America*, **65**, 1975, 742.
- [24] R. Messier, A.P. Girl, R.A. Roy, *Journal of Vacuum Science and Technology*, **A2**, 1984, 500.
- [25] B.A. Movchan, A.V. Demchishin, *Physics of Metals and Metallography*, **28**, 1969, 83.
- [26] J.A. Thornton, *Journal of Vacuum Science and Technology*, **12**, 1975, 830.
- [27] D.E. Aspnes, E. kinsbron, D.D. Bacon, *Physical Review*, **B21**, 1980, 3290.
- [28] D.A. Bruggeman, *Annals of Physics*, **24**, 1935, 636.
- [29] D.E. Aspnes, *Thin Solid Films*, **89**, 1982, 249.
- [30] H. Ehrenreich, H. Philip, *Physical Review*, **128**, 1962, 1622.
- [13] M. Firouzi-Arani, H. Savaloni, M. Ghoranneviss, *Applied Surface Science*, **256**, 2010, 4502.
- [14] K. Khojier, H. Savaloni, Z. Sadeghi, *Journal of Theoretical and Applied Physics*, **8**, 2014, 116.
- [15] R. Rosi, D.W. Lynch, *Physical Review B*, **5**, 1972, 3883.
- [16] F. Parmigiani, E. Key, T.C Huang, J. Perrin, M. Jurich, J.D. Swalen, *Physical Review B33*, **1986**, 879.
- [17] X. Sun, R. Hong, H. Hou, *Thin Solid Films*, **515**, 2007, 6962.
- [18] F. Maghazeii, H. Savaloni, *Optics Communications*, **281**, 2008, 4687.
- [19] F. Abdi, H. Savaloni, F. Placido, *Optics Communications*, **380**, 2016, 69.
- [20] H. Savaloni, H. Kangarloo, *Journal of Physics D: Applied Physics*, **40**, 2006, 203.
- [21] M. Ravankhah, H. Savaloni, *Optik-International Journal*